

## CAPÍTULO V

### FLUXO MÁXIMO

Um dos mais importantes problemas de otimização em redes juntamente com caminho mínimo. Seja um grafo  $G = (N, A)$ ,  $|N| = n$  e  $|A| = m$ , onde para cada arco  $(i, j) \in A$  existe um limite inferior,  $l_{ij}$ , e um limite superior  $w_{ij}$  para o fluxo  $x_{ij}$ . Determinar o fluxo máximo de um nó fonte inicial  $f$  a um nó sumidouro  $s$ , final.

Esse problema é um caso particular do modelo de fluxo de custo mínimo, com um único centro de oferta,  $O = \{f\}$  e um único centro de demanda,  $D = \{s\}$ , os demais nós são de transbordo. Denominando esse fluxo de  $f$  a  $s$  por  $t$ , resulta:

$$\text{maximizar } t \tag{1}$$

$$\sum_{(i,j) \in S(i)} x_{ij} - \sum_{(i,j) \in E(i)} x_{ij} = t, \quad i = f \tag{2}$$

$$(M1) \quad \sum_{(i,j) \in S(i)} x_{ij} - \sum_{(i,j) \in E(i)} x_{ij} = 0, \quad i \in (N - \{f\} - \{s\}) \tag{3}$$

$$\sum_{(i,j) \in S(i)} x_{ij} - \sum_{(i,j) \in E(i)} x_{ij} = -t, \quad i = s \tag{4}$$

$$l_{ij} \leq x_{ij} \leq w_{ij}, \quad \forall (i, j) \in A \tag{5}$$

O modelo (M1) pode ser transformado em um modelo de circulação de fluxo, conforme mostrado anteriormente. E, uma vez que  $t$  é uma variável então (M1) pode também ser escrito de forma matricial por:

$$\text{maximizar } t \tag{6}$$

$$(e_s - e_f)t + Ax = 0 \tag{7}$$

$$(M2) \quad x \leq w \tag{8}$$

$$x \geq l \tag{9}$$

onde  $e_i$  é o vetor canônico, com a  $i^{\text{a}}$  coordenada unitária. Este é um problema linear que pode ser resolvido pelo Simplex padrão, ou adaptado para o problema de fluxos de custo de mínimo ou ainda, por um algoritmo ainda mais simplificado.

Associando variáveis duais  $u_i$ ,  $\forall i \in N$ , as restrições (7),  $v_{ij}$ ,  $\forall (i, j) \in A$ , as restrições (8) e  $h_{ij}$ ,  $\forall (i, j) \in A$ , as restrições (9), resulta o problema dual:

$$\text{minimizar } \sum_{(i,j) \in A} w_{ij} v_{ij} - \sum_{(i,j) \in A} l_{ij} h_{ij} \quad (10)$$

$$u_f - u_s = 1 \quad (11)$$

$$u_i - u_j + v_{ij} - h_{ij} = 0, \quad \forall (i, j) \in A \quad (12)$$

$$v_{ij}, h_{ij} \geq 0, \quad \forall (i, j) \in A \quad (13)$$

Uma solução ótima para (M2) deverá atender a viabilidade primal e dual além da complementaridade de folga:

$$(u_i - u_j + v_{ij} - h_{ij}) x_{ij} = 0, \quad \forall (i, j) \in A \quad (14)$$

O algoritmo Simplex parte de uma solução inicial e procura, a cada iteração, uma solução melhor que a atual. Para o problema em estudo, a partir de fluxos viáveis, um fluxo de  $f$  a  $s$ , superior ao dual, será obtido se for encontrado um caminho de  $f$  a  $s$  que permite o acréscimo do fluxo. À medida que esse acréscimo é efetuado, alguns arcos atingem os seus limites de capacidade, tornando-se saturados, e um novo caminho de acréscimo é procurado. Assim, quando todos os caminhos de acréscimo de  $f$  a  $s$  tiverem sido explorados o fluxo é ótimo. Um conjunto de arcos saturados separa o conjunto de nós em dois subconjuntos  $P$  e  $\bar{P}$ ,  $f \in P$  e  $s \in \bar{P}$ . Os arcos ligando nós de  $P$  e  $\bar{P}$  compõem um corte:

**CONJUNTO CORTE:** Seja  $P \subset N$  um conjunto de nós tal que  $f \in P$  e  $\bar{P} = N - P$ ,  $s \in \bar{P}$ . Então  $(P, \bar{P}) \equiv \{ (i, j) \in A \mid i \in P, j \in \bar{P} \text{ ou } i \in \bar{P}, j \in P \}$  é um conjunto corte separando o nó  $f$  de  $s$ .

Para cada corte  $(P, \bar{P})$  pode ser definida a CAPACIDADE DO CORTE:  

$$CAP(P, \bar{P}) = \sum_{(i,j) \in P, j \in \bar{P}} w_{ij} - \sum_{(i,j) \in \bar{P}, j \in P} l_{ij}.$$

**EXEMPLO 1.** Seja o grafo da figura (1). Entre os cortes existentes esboçar pelo menos três.

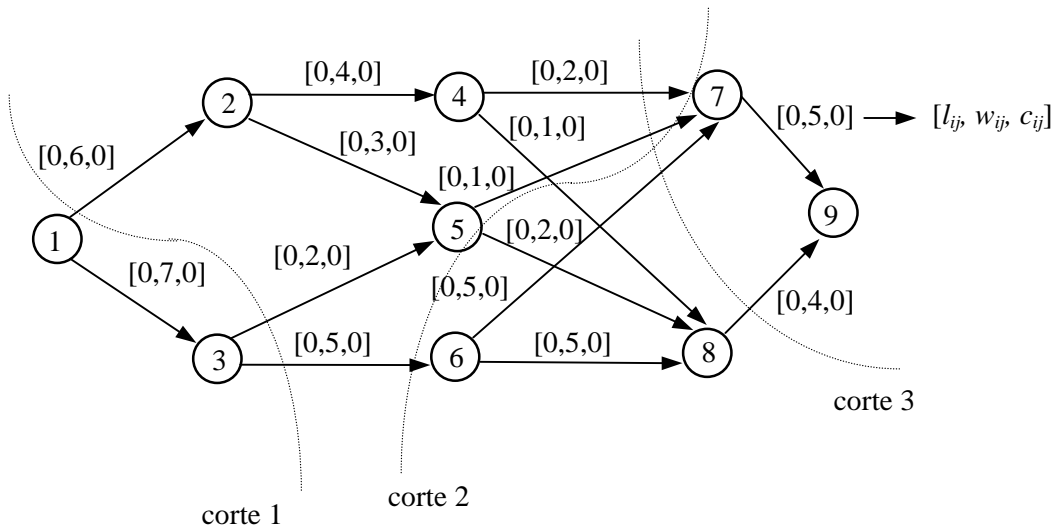


Figura 1. Grafo do exemplo (1).

CORTE 1 -  $P = \{1, 3\}$ ,  $\bar{P} = \{2, 4, 5, 6, 7, 8, 9\}$ ;  $(P, \bar{P}) = \{(1, 2), (3, 5), (3, 6)\}$ ;  $CAP(P, \bar{P}) = 13$

CORTE 2 -  $P = \{1, 2, 3, 4, 5\}$ ,  $\bar{P} = \{6, 7, 8, 9\}$ ;  $(P, \bar{P}) = \{(4, 7), (4, 8), (5, 7), (5, 8), (3, 6)\}$ ;  $CAP(P, \bar{P}) = 13$

CORTE 3 -  $P = \{1, 2, 3, 4, 5, 6, 8\}$ ,  $\bar{P} = \{7, 9\}$ ;  $(P, \bar{P}) = \{(4, 7), (5, 7), (6, 7), (8, 9)\}$ ;  $CAP(P, \bar{P}) = 12$

Pela teoria da dualidade pode ser escrito:

$$\text{máximo } t \leq \text{mínimo } \sum_{(i,j) \in A} w_{ij} v_{ij} - \sum_{(i,j) \in A} l_{ij} h_{ij} \quad (15)$$

Para um certo corte  $(P, \bar{P})$ , fazendo  $v_{ij} = 1$ ,  $\forall (i, j) \in A | i \in P \text{ e } j \in \bar{P}$ ; e  $h_{ij} = 1$ ,  $\forall (i, j) \in A | i \in \bar{P}, i \in P$  e  $v_{ij} = h_{ij} = 0$  para os demais arcos, então, de (15), o fluxo máximo  $t$  é menor ou igual à capacidade do corte  $(P, \bar{P})$ . Associando cada corte a uma solução dual viável, de (15) pode-se concluir que o máximo fluxo é menor ou igual à capacidade mínima entre todos os cortes. Portanto, seja o corte  $(P, \bar{P})$  e a respectiva solução dual viável:

$$u_i = \begin{cases} 0, & \text{se } i \in P \\ 1, & \text{se } i \in \bar{P} \end{cases} \quad v_{ij} = \begin{cases} 1, & \text{se } (i, j) \in A | i \in P \text{ e } j \in \bar{P} \\ 0, & \text{caso contrário} \end{cases} \quad h_{ij} = \begin{cases} 1, & \text{se } (i, j) \in A | i \in \bar{P} \text{ e } j \in P \\ 0, & \text{caso contrário} \end{cases}$$

$$\text{Então:} \quad \text{máximo } t \leq CAP(P, \bar{P}) \leq \text{mínimo } CAP(P, \bar{P}) \quad (P, \bar{P}) \in A$$

Uma solução básica primal viável correspondente é facilmente obtida pela complementaridade das folgas. Uma base é uma árvore geradora do grafo, tal como no problema de transporte. Os arcos da base são aqueles cujos fluxos não estão nos limites de capacidade ( $l_{ij} < x_{ij} < w_{ij}$ ), mais um subconjunto de arcos nos limites, complementando a base, com um total de  $(n - 1)$  arcos.

**TEOREMA.** O valor do fluxo máximo em  $G$  é igual a capacidade do corte mínimo em  $G$ .

A demonstração é consequência direta da aplicação da teoria da dualidade.

Na maioria dos problemas práticos os limites inferiores são nulos,  $l_{ij} = 0$ . Os algoritmos apresentados abaixo, partem desse pressuposto. A estrutura é a mesma para os casos em que  $l_{ij} \neq 0$ , a menos da solução inicial que torna-se um pouco mais complexa para ser obtida.

Com os  $l_{ij} = 0$ ,  $\forall (i, j) \in A$ , uma solução inicial imediata é dada por  $x_{ij} = 0$ ,  $\forall (i, j) \in A$ . A partir daí pode-se construir, a partir de  $G$ , um grafo parcial  $G'$  com os possíveis caminhos de aumento de fluxo de  $f$  a  $s$ . Para isso basta seguir a seguinte orientação:

- (i) Se  $x_{ij} < w_{ij}$ , então  $(i, j) \in G'$  com capacidade de variação de fluxo dada por  $\Delta_{ij} = w_{ij} - x_{ij}$ ;
- (ii) Se  $x_{ij} > l_{ij} = 0$ , então  $(j, i) \in G'$  com capacidade de variação de fluxo dada por  $\Delta_{ji} = x_{ij} - l_{ij} = x_{ij}$ .

Se for encontrado um caminho  $C$  de  $f$  a  $s$ , com capacidade de variação do fluxo dada por  $\Delta = \min \Delta_{ij}, \forall (i, j) \in C$ , então atualizar os fluxos no caminho, fazendo  $x_{ij} = x_{ij} + \Delta$ , para todos os arcos em  $G$ , pertencentes ao caminho  $C$  em  $G'$ , e com a mesma direção do caminho. E,  $x_{ij} = x_{ij} - \Delta$ , para todos os arcos em  $G$ , pertencentes ao caminho  $C$  em  $G'$ , e com a direção contrária à do caminho. Esse processo consiste de duas etapas básicas a cada iteração:

- (a) montar o grafo  $G'$ , orientando-se pelos itens (i) e (ii) acima
- (b) encontrar um caminho de  $f$  a  $s$  em  $G'$ .

Uma das formas de implementar essas etapas é o algoritmo de rotulação proposto por Ford e Fulkerson [1956, 1957, 1962]. A cada nó  $j$  associa um rótulo composto por duas informações: o predecessor ou sucessor de  $j$  e a capacidade de variação de fluxo até  $j$ . Na etapa (a), inicia rotulando o nó  $f$ ,  $(f, f, \infty)$ , e seleciona um nó rotulado  $k$  e expande, ou seja, procura rotular todos os nós adjacentes a  $k$  ainda não rotulados. Um nó  $j$  adjacente a  $k$  não rotulado, terá o seguinte rótulo:  $(\pm k, \Delta_j)$ , onde  $(+k)$  implica que  $k$  é um predecessor de  $j$ ,  $(-k)$  então  $k$  é um sucessor de  $j$  e  $\Delta_j$  é a capacidade de variação do fluxo até  $j$ ,  $\Delta_j = \min \{\Delta_k, w_{kj} - x_{kj}\}$  se  $(+k)$  ou  $\Delta_j = \min \{\Delta_k, x_{kj} - l_{kj}\}$  se  $(-k)$ . Prossegue-se até rotular o nó final  $s$ . Nesse caso, executar a etapa (b). Recuperar o caminho até  $f$  atualizando os fluxos nesse caminho de  $\Delta s$ . Apaga todos os rótulos e inicia nova iteração. O processo continua até que não encontre um caminho de aumento de fluxo de  $f$  a  $s$ . Nesse ponto os nós rotulados e não rotulados definem um corte de capacidade mínima.

O algoritmo de rotulação apresentado a seguir foi proposto por Ford e Fulkerson [1956, 1957, 1962]. Inicia rotulando o nó  $f$ . A cada iteração seleciona um nó rotulado  $k$  e expande, ou seja, procura rotular todos os nós adjacentes a  $k$  ainda não rotulados. O processo prossegue até rotular os nós ou até que não exista caminhos de aumento de fluxo de  $f$  a  $s$ . Rotulando o nó  $s$ , recuperar o caminho até  $f$  atualizando os fluxos nesse caminho.

### Algoritmo de Fluxo Máximo

Seja  $L^1(j)$  - vetor contendo para cada nó  $j \in N$  o seu predecessor (+i) ou o seu sucessor (-i).  
 $L^2(j)$  - vetor contendo para cada nó  $j \in N$  a capacidade de variação de fluxo até  $j$  ( $\Delta$ ).  
 $P$  - conjunto de nós, onde para cada nó foi encontrado um caminho de aumento de  
fluxo de  $f$  até ele e já expandido, ou seja, todos seus nós adjacentes já foram rotulados.  
Ao início de cada iteração  $P = \emptyset$ .  
 $\bar{P}$  - conjunto de nós, onde para cada nó foi encontrado um caminho de aumento de  
fluxo de  $f$  até ele.  
{Solução inicial}  
 $x_{ij} \leftarrow 0, \forall (i, j) \in A; L^1(f) \leftarrow +f; L^2(f) \leftarrow \infty;$   
{Processo iterativo}  
repita  
para todo  $j \in (N - \{f\})$  faça  
 $L^1(j) \leftarrow +0; L^2(j) \leftarrow 0;$   
fimpara;  
 $P \leftarrow \emptyset; \bar{P} \leftarrow \{f\};$   
{Pesquisar um caminho de  $f$  a  $s$ }  
enquanto  $s \notin \bar{P}$  e  $\bar{P} \neq \emptyset$  faça  
escolha  $k \in \bar{P};$   
para todo  $j \in N \mid \exists (k, j) \in A$  e  $L^1(j) = 0$  faça  
se  $x_{kj} < w_{kj}$  então  $\Delta_{kj} \leftarrow w_{kj} - x_{kj}; \Delta \leftarrow \min \{\Delta_{kj}, L^2(k)\}$   
 $L^1(j) \leftarrow +k; L^2(j) \leftarrow \Delta; \bar{P} \leftarrow \bar{P} \cup \{j\};$   
fimse;  
fimpara;

```

para todo  $j \in N \mid \exists (j, kj) \in A$  e  $L^1(j) = 0$  faça
    se  $x_{jk} > l_{jk}$  então  $\Delta_{jk} \leftarrow x_{jk} - l_{jk}; \Delta \leftarrow \min \{\Delta_{jk}, L^2(k)\}$ 
     $L^1(j) \leftarrow -k; L^2(j) \leftarrow \Delta; \bar{P} \leftarrow \bar{P} \cup \{j\};$ 
fimse;
fimpara;
 $P \leftarrow P \cup \{k\}; \bar{P} \leftarrow \bar{P} - \{k\};$ 
fimenquanto;
se  $\bar{P} \neq \emptyset$  então
{Recuperar o caminho de aumento de  $f$  a  $s$ }
 $j \leftarrow s; \Delta = L^2(j);$ 
enquanto  $j \neq f$  faça
     $i \leftarrow |L^1(j)|;$ 
    se  $L^1(j) < 0$  então  $x_{ij} \leftarrow x_{ij} - \Delta;$ 
    senão  $x_{ij} \leftarrow x_{ij} + \Delta;$ 
    fimse;
     $j \leftarrow i;$ 
fimenquanto;
fimse;
até  $\bar{P} = \emptyset;$ 
finalgoritmo.

```

Ao término do algoritmo em  $P$  estará todos os nós tais que existe um caminho de aumento de  $f$  até eles. Os demais nós não foram rotulados e não existe um caminho de aumento de  $f$  a  $s$ . Fazendo  $\bar{P} = N - P$ , resulta em  $G$  em corte  $(P, \bar{P})$  cuja capacidade é igual ao fluxo máximo obtido. Este é portanto o corte mínimo e todos os arcos do corte  $(P, \bar{P})$  limitam o crescimento do fluxo. Os arcos  $(i, j)$  onde  $i \in P$  e  $j \in \bar{P}$ , estão no seu limite superior  $x_{ij} = w_{ij}$ , e os arcos  $(i, j)$  onde  $i \in \bar{P}$  e  $j \in P$  estão no seu limite inferior  $x_{ij} = l_{ij}$ .

**EXEMPLO 2.** Seja o grafo da figura (2). Determinar o fluxo máximo do nó inicial 1 ao nó final 9.

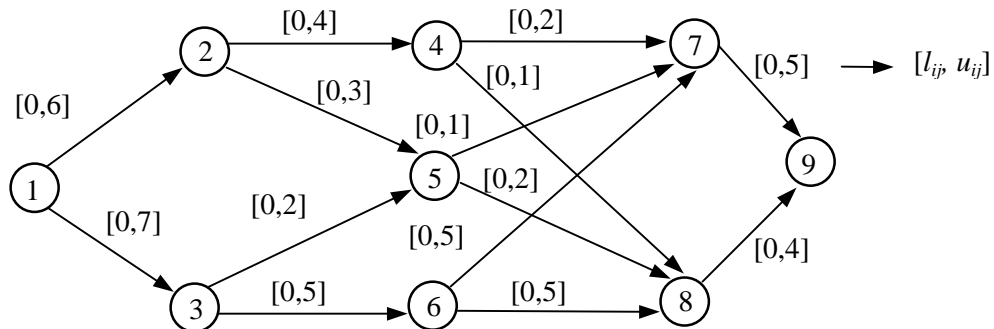


Figura 2. Grafo do exemplo (2).

Aplicando o algoritmo de fluxo máximo resulta:

$$x_{ij} = 0, \forall (i, j) \in A$$

$$L^1(1) = +1, L^2(1) = \infty; L^1(2) = \dots = L^1(9) = 0; L^2(2) = \dots = L^2(9) = 0$$

$$P = \emptyset; \bar{P} = \{1\}$$

$$k = 1, j = 2 \Rightarrow L^1(2) = +1, L^2(2) = 6, \bar{P} = \{1, 2\}$$

$$j = 3 \Rightarrow L^1(3) = +1, L^2(3) = 7, \bar{P} = \{1, 2, 3\}$$

$$P = \{1\}; \bar{P} = \{2, 3\}$$

$$k = 2, j = 4 \Rightarrow L^1(4) = +2, L^2(4) = 4, \bar{P} = \{2, 3, 4\}$$

$$j = 5 \Rightarrow L^1(5) = +2, L^2(5) = 3, \bar{P} = \{2, 3, 4, 5\}$$

$$P = \{1, 2\}; \bar{P} = \{3, 4, 5\}$$

$$k = 3, j = 6 \Rightarrow L^1(6) = +3, L^2(6) = 5, \bar{P} = \{3, 4, 5, 6\}$$

$$P = \{1, 2, 3\}; \bar{P} = \{4, 5, 6\}$$

$$k = 4, j = 7 \Rightarrow L^1(7) = +4, L^2(7) = 2, \bar{P} = \{4, 5, 6, 7\}$$

$$j = 8 \Rightarrow L^1(8) = +4, L^2(8) = 1, \bar{P} = \{4, 5, 6, 7, 8\}$$

$$P = \{1, 2, 3, 4\}; \bar{P} = \{5, 6, 7, 8\}$$

$$k = 7, j = 9 \Rightarrow L^1(9) = +7, L^2(9) = 2, \bar{P} = \{5, 6, 7, 8, 9\}$$

$$P = \{1, 2, 3, 4, 7\}; \bar{P} = \{5, 6, 8\}$$

$$(s = 9) \in \bar{P} \text{ e } P = \emptyset$$

$$\Delta = 2, j = 9, i = 7, L^1(9) > 0 \Rightarrow x_{79} = 0 + 2 = 2$$

$$j = 7, i = 4, L^1(7) > 0 \Rightarrow x_{47} = 0 + 2 = 2$$

$$j = 4, i = 2, L^1(4) > 0 \Rightarrow x_{24} = 0 + 2 = 2$$

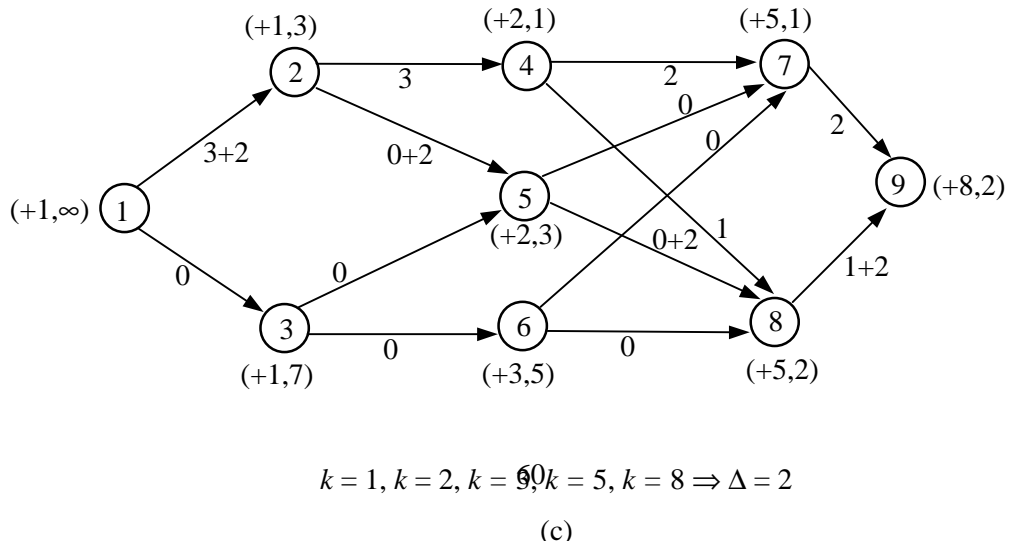
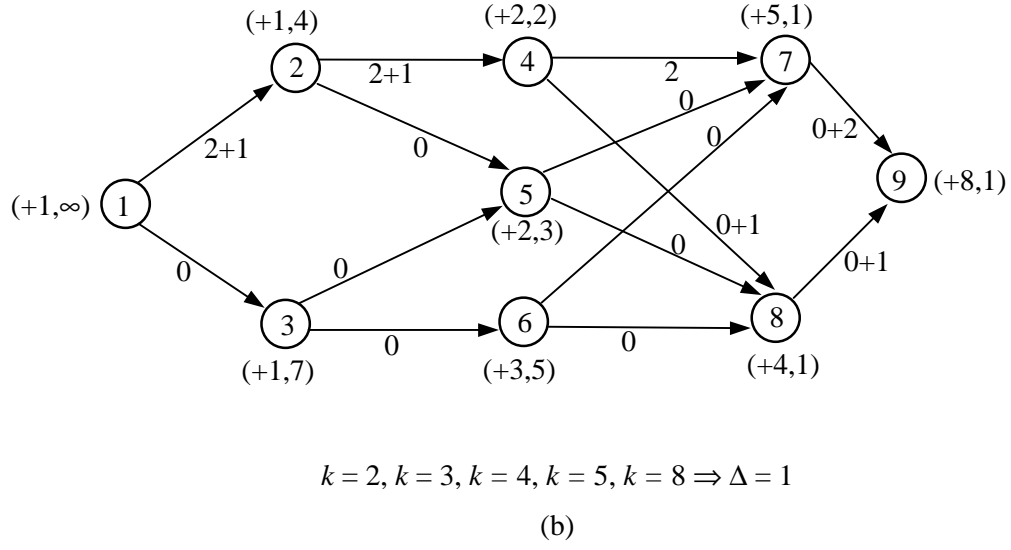
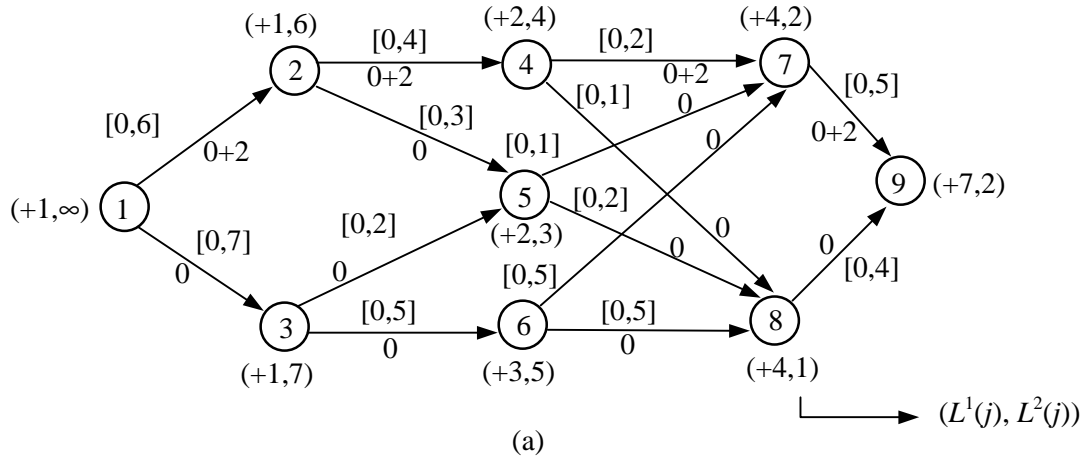
$$j = 2, i = 1, L^1(2) > 0 \Rightarrow x_{12} = 0 + 2 = 2$$

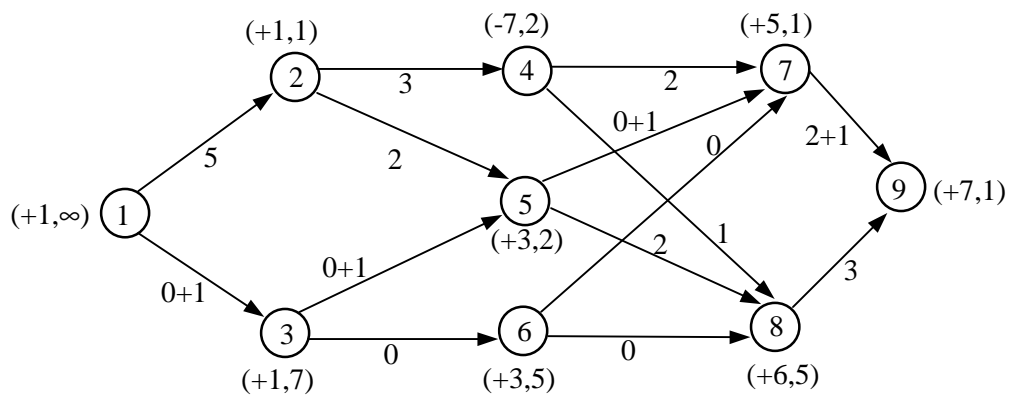
$$L^1(2) = \dots = L^1(9) = 0; L^2(2) = \dots = L^2(9) = 0$$

$$P = \emptyset; \bar{P} = \{1\}$$

$$k = 1, j = 2 \Rightarrow L^1(2) = +1, L^2(2) = 4, \bar{P} = \{1, 2\}$$

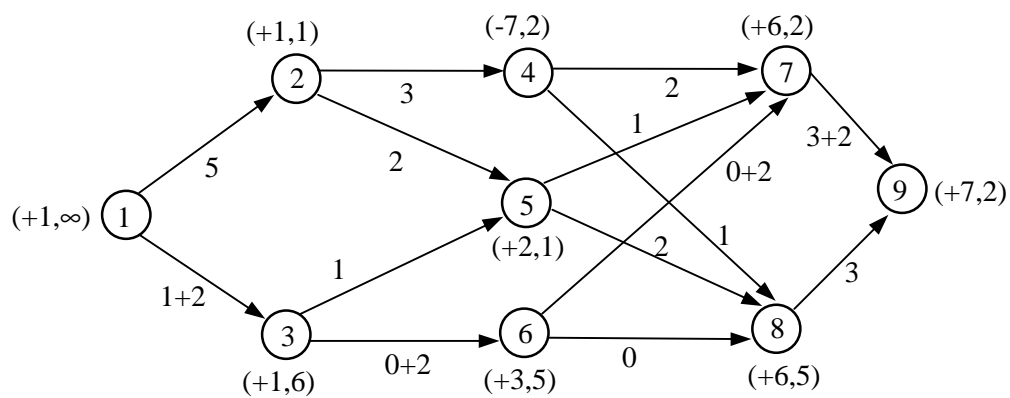
$$j = 3 \Rightarrow L^1(3) = +1, L^2(3) = 7, \bar{P} = \{1, 2, 3\}$$





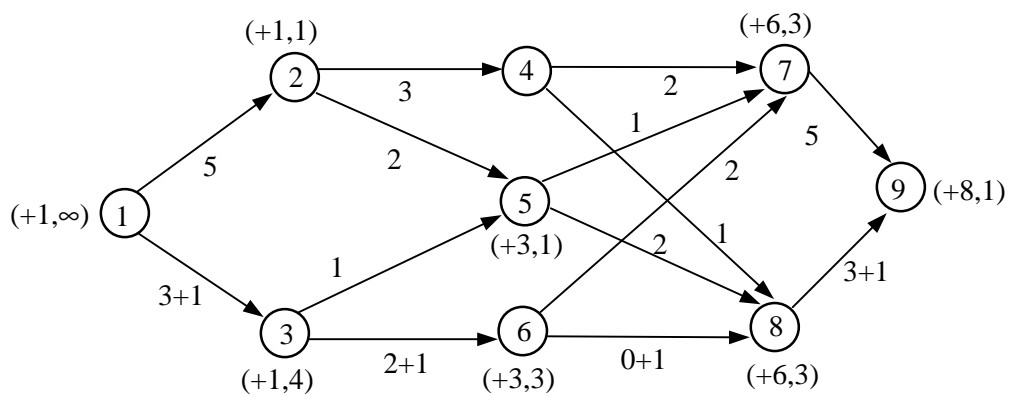
$$k = 1, k = 3, k = 5, k = 7 \Rightarrow \Delta = 1$$

(d)



$$k = 1, k = 2, k = 3, k = 6, k = 7 \Rightarrow \Delta = 2$$

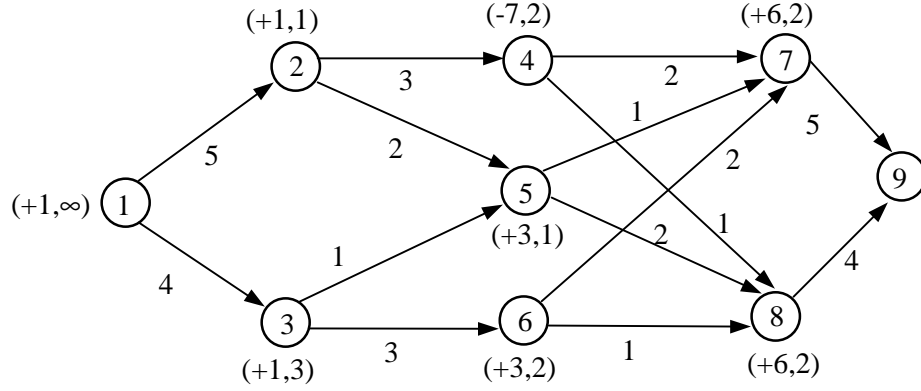
(e)



61

$$k = 1, k = 3, k = 6, k = 8 \Rightarrow \Delta = 1$$





$$k = 1, k = 3, k = 5, k = 6, k = 7, k = 2, k = 8, k = 4 \Rightarrow \\ P = \{1, 2, 3, 4, 5, 6, 7, 8\}, \bar{P} = \emptyset$$

(g)

Após as iterações (a), (b), (c), (d), (e) e (f), a última iteração (g) pode ser assim detalhada:

$$L^1(2) = L^1(3) = \dots = L^1(9) = 0; L^2(2) = L^2(3) = \dots = L^2(9) = 0$$

$$P = \emptyset; \bar{P} = \{1\}$$

$$k = 1, j = 2 \Rightarrow L^1(2) = +1, L^2(2) = 1, \bar{P} = \{1, 2\}$$

$$j = 3 \Rightarrow L^1(3) = +1, L^2(3) = 3, \bar{P} = \{1, 2, 3\}$$

$$P = \{1\}; \bar{P} = \{2, 3\}$$

$$k = 3, j = 5 \Rightarrow L^1(5) = +3, L^2(5) = 1, \bar{P} = \{2, 3, 5\}$$

$$j = 6 \Rightarrow L^1(6) = +3, L^2(6) = 2, \bar{P} = \{2, 3, 5, 6\}$$

$$P = \{1, 3\}; \bar{P} = \{2, 5, 6\}$$

$$k = 5$$

$$P = \{1, 3, 5\}; \bar{P} = \{2, 6\}$$

$$k = 6, j = 7 \Rightarrow L^1(7) = +6, L^2(7) = 2, \bar{P} = \{2, 6, 7\}$$

$$j = 8 \Rightarrow L^1(8) = +6, L^2(8) = 2, \bar{P} = \{2, 6, 7, 8\}$$

$$P = \{1, 3, 5, 6\}; \bar{P} = \{2, 7, 8\}$$

$$k = 7, j = 4 \Rightarrow L^1(4) = -7, L^2(4) = 2, \bar{P} = \{2, 7, 8, 4\}$$

$$P = \{1, 3, 5, 6, 7\}; \bar{P} = \{2, 8, 4\}$$

$$k = 2$$

$$P = \{1, 3, 5, 6, 7\}; \bar{P} = \{8, 4\}$$

$$k = 8$$

$$P = \{1,3,5,6,7,8\}; \bar{P} = \{4\}$$

$$k = 4$$

$$P = \{1,3,5,6,7,8,4\}; \bar{P} = \emptyset$$

$$P = \emptyset \Rightarrow \text{Fim}$$

Ao aplicar o algoritmo de fluxo máximo, a escolha do nó,  $k \in \bar{P}$ , rotulado, a ser expandido, a escolha é aleatória. Pode-se, porém, estabelecer algum critério. Se o nó escolhido for aquele rotulado mais antigo tem-se uma busca horizontal ou em largura. Se for escolhido aquele rotulado mais recente tem-se uma busca em profundidade. No primeiro caso a tendência é pesquisar todos os nós do grafo por camadas (iteração (a) do exemplo (2)). No segundo, a rotulação se aprofunda em direção ao nó final (iteração (f) do exemplo (2)). Dependendo das circunstâncias uma opção é melhor que outra.

Outros critérios podem ser definidos para escolha do nó a ser expandido. Um caso específico é o problema de mínimo custo - máximo fluxo. Determinar o fluxo máximo de mínimo custo. O nó escolhido recai sobre aquele cujo caminho de  $f$  a ele é mínimo entre todos os nós passíveis de serem selecionados.

A escolha pode alterar significativamente o desempenho do algoritmo. Por esse aspecto o algoritmo apresentado é de complexidade exponencial. Trabalhando nas estruturas de dados a complexidade pode ser sensivelmente reduzida. Assim, se a escolha dos nós implica em um caminho de aumento de fluxo com o menor número de arcos entre todos os caminhos, então o algoritmo torna-se polinomial e complexidade  $O(nm^2)$ . É o caso do algoritmo proposto por Edmonds e Karp [1972]. Em ordem decrescente de complexidade surgem os algoritmos de Dinic [1970],  $O(n^2m)$ , Malhotra, Pramodh Kumar e Maheshwari [1978], também conhecido por método dos três indianos e Karzanov [1974], ambos  $O(n^3)$ . Mais recentemente surgiu o algoritmo de Sleator [1980],  $O(nm \log n)$ .